

· 论著 ·

MRI影像组学模型预测脑胶质瘤IDH-1基因突变和Ki-67表达水平的价值

龙治豪 连海伟 邢变枝 刘仁忠

【摘要】目的 探讨MRI影像组学模型预测脑胶质瘤IDH-1基因突变和Ki-67表达水平的价值。方法 回顾性分析2017年1月至2021年6月经术后病理证实的77例胶质瘤的临床资料,其中72例IDH-1基因检测结果完整(IDH-1组),75例Ki-67检测结果完整(Ki-67组)。基于MRI T₂WI序列选择感兴趣区域,运用Python提取影像组学特征,先用两独立样本t检验进行筛选,再用LASSO回归进一步筛选特征值。使用随机森林和参数优化后的支持向量机两种分类器建立影像组学模型,绘制受试者工作特征曲线,并计算曲线下面积判断模型预测IDH-1基因突变和Ki-67表达水平的灵敏度、特异度。结果 IDH-1组t检验筛选出47个特征,再通过LASSO回归筛选出11个特征。Ki-67组t检验筛选出17个特征,再通过LASSO回归筛选出10个特征。支持向量机和随机森林两种方法建立的影像组学模型预测胶质瘤IDH-1基因突变和Ki-67表达水平均有较高的预测效能,预测准确率均超过88.0%。结论 MRI影像组学模型对预测胶质瘤IDH-1基因突变和Ki-67表达水平具有较高的应用价值,为胶质瘤术前预测提供了新思路。

【关键词】胶质瘤;影像组学;MRI;IDH-1;Ki-67

【文章编号】1009-153X(2022)04-0255-05 **【文献标志码】**A **【中国图书资料分类号】**R 739.41; R 455.2

Clinical value of MRI T₂WI-based radiomics model in prediction of IDH-1 genotype and Ki-67 expression level in gliomas

LONG Zhi-hao¹, LIAN Hai-wei¹, XING Bian-zhi², LIU Ren-zhong¹. 1. Department of Neurosurgery, Renmin Hospital of Wuhan University, Wuhan 430060, China; 2. Department of Radiology, Renmin Hospital of Wuhan University, Wuhan 430060, China

【Abstract】 Objective To investigate the clinical value of MRI T₂WI-based radiomics model in predicting IDH-1 genotype and Ki-67 expression level in gliomas. **Methods** The clinical data, preoperative MRI data, and postoperative pathological data of 77 patients with glioma who underwent microsurgery from January 2017 to June 2021 were retrospectively analyzed. Of these 77 patients, 72 patients had complete IDH-1 gene data (IDH-1 group), and 75 had complete Ki-67 data (Ki-67 group). Regions of interest were selected based on the MRI T₂WI images, and Python was used to extract the radiomics features and the t-test and LASSO regression were used to screen out the feature values. Two radiomics models were established using random forest and parameter-optimized support vector machine algorithms, respectively. Receiver operating characteristic curve was used to calculate the area under curve to evaluate the predictive efficacy of the two models. **Results** Forty-seven imaging features were screened out by t-test and then 11 imaging features were screened out by LASSO regression in IDH-1 group. Seventeen imaging features were screened out and then 10 imaging features were screened out by LASSO regression in Ki-67 group. The radiomics models established by both the support vector machine and random forest methods had high efficacy in predicting the IDH-1 gene mutation and Ki-67 expression level in gliomas, and the prediction accuracy was more than 88.0%. **Conclusions** MRI radiomics model has high application value in predicting IDH-1 gene mutation and Ki-67 expression level in gliomas, which can provide a new idea for preoperative assessment of gliomas.

【Key words】 Glioma; Radiomics; MRI; IDH-1; Ki-67

胶质瘤是最常见的颅内原发性恶性肿瘤。根据病理解学特征,WHO将胶质瘤分为I~IV级,描述肿瘤恶性程度,其中异柠檬酸脱氢酶1(isocitric dehydrogenase 1, IDH-1)基因突变和Ki-67表达水平

为重要的诊断依据^[1]。IDH-1基因突变是评估胶质瘤病人预后的重要指标, IDH-1野生型提示预后不良^[2,3]。Ki-67表达水平反应肿瘤增殖情况,对胶质瘤的诊断、治疗和预后评估有指导意义^[4]。术前对胶质瘤IDH-1基因突变和Ki-67表达水平进行评估,可为胶质瘤病人提供无创的诊断^[5]。近年来,研究表明,影像组学可通过大量病人影像学资料的机器深度学习,构建疾病诊断、预后预测模型,为优化疾病的诊断、预后预测提供有价值的信息^[6]。本文探讨基

于T₂WI序列影像组学模型预测胶质瘤IDH-1基因突变和Ki-67表达水平的价值。

1 资料与方法

1.1 研究对象 纳入标准:①行肿瘤切除术或活检术;②术后病理诊断为脑胶质瘤,且包含完整的IDH-1或Ki-67检测结果;③具有完整清晰可用于分析的术前MRI影像资料。排除标准:①IDH-1或Ki-67检测结果不明确;②MRI序列不完整,所需序列不清晰或有明显伪影,或者未满足诊断标准;③二次或多次手术。

收集2017年1月至2021年6月经手术切除且病理诊断为脑胶质瘤的临床、病理和术前影像学资料。根据纳入排除标准最终筛选出77例,其中男41例,女36例;年龄11~73岁,平均(48.64±13.64)岁。72例IDH-1基因检测结果完整(IDH-1组),75例Ki-67检测结果完整(Ki-67组),两者检测结果均完整共70例。IDH-1组男40例,女32例;野生型47例,突变型25例。Ki-67组男40例,女35例;低表达48例,高表达27例。

1.2 影像学资料 选取颅脑轴位T₂WI序列,均于武汉大学人民医院放射科采集。仪器设备:3.0 T超导型磁共振扫描仪。扫描参数:TR/TE为3 000 ms/15 ms,Flip角为90°,视野为230×230,重建矩阵为128×128,采样矩阵为96×96,层距为2.0 mm,层厚为5.0 mm,激励次数为1次等。

1.3 影像组学分析

1.3.1 感兴趣区域(region of interest, ROI)的选择 使用T₂WI轴位像选择ROI(图1A、2A)。将MRI资料上传至ITK-SNAP(Version3.8.0)软件^[7],先手动沿肿瘤边缘逐层选择ROI,再由神经外科、影像科高年资医师各一名进行审核,有争议时,由影像学科医师确定。肿瘤区域选择时,参考T₁WI和T₁WI+C序列,涵盖囊变或坏死区。

1.3.2 影像组学特征的提取和筛选 首先,进行图像预处理,包括图像归一化、偏置场矫正和重采样。然后,应用Python3.0和Pyradiomics(<https://pyradiomics.readthedocs.io/>)处理影像数据和ROI数据,提取特征包括一阶特征、形态特征和纹理特征,其中纹理特征包括灰度共生矩阵参数、灰度行程矩阵参数、灰度尺寸区域矩阵、邻域灰度差矩阵参数、灰度相关矩阵参数、小波滤波特征和高斯-拉普拉斯滤波特征,共提取影像特征1 037个。

应用Python 3.0,将IDH-1野生型病例添加标签

“0”,突变病例添加标签“1”。根据Beesley^[8]报道方法将Ki-67表达水平阳性率分为4级:0~4%为0级,5%~24%为1级,25%~49%为2级,50%以上为3级。本文将Ki-67表达水平分为低表达组(0~1级)和高表达组(2~3级),并分别添加标签“0”和“1”。然后,将影像组学特征值进行标准化、混序,先用两独立样本t检验进行筛选,排除组间无统计学差异的特征值,再用LASSO回归进一步筛选。

1.3.3 影像组学模型的建立及验证 使用Python 3.0和scikit-learn机器学习算法进行影像组学模型建立和验证。将数据按7:3的比例分为训练集和测试集,分别用于影像组学模型的建立和验证。使用随机森林和参数优化后的支持向量机两种分类器建立影像组学模型。最后,绘制受试者工作特征(receiver operating characteristic, ROC)曲线,并计算曲线下面积(area under curve, AUC)判断模型预测IDH-1基因突变和Ki-67表达水平的敏感度、特异度。

2 结果

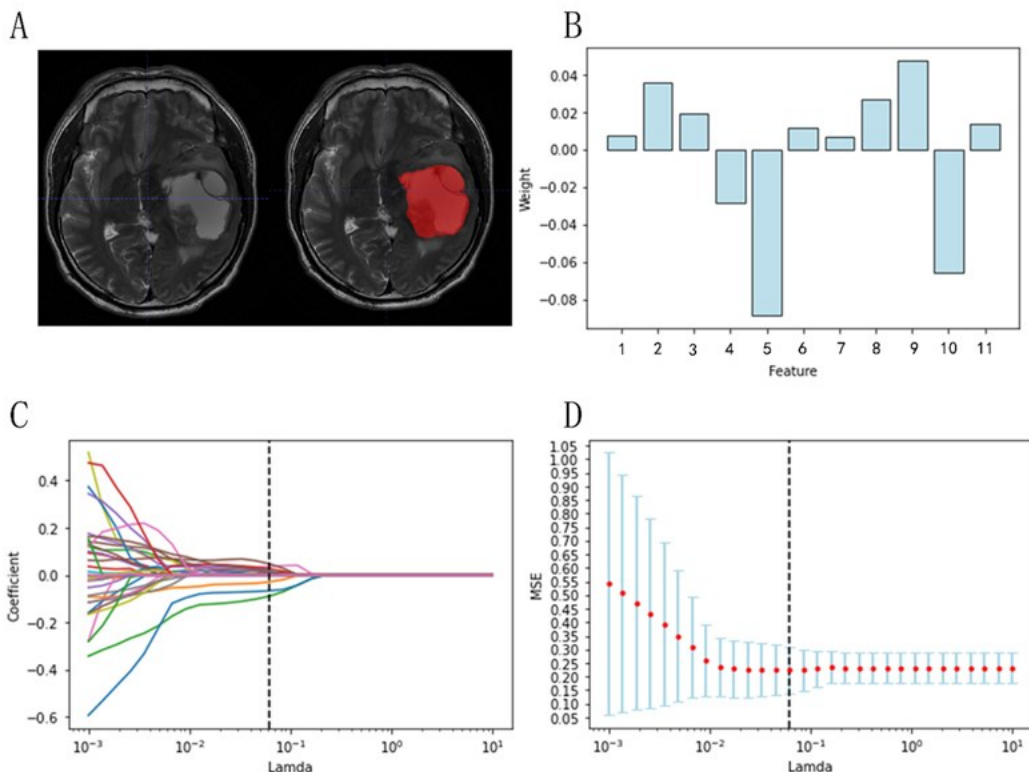
2.1 影像组学特征筛选结果 IDH-1组t检验筛选出47个特征,再通过LASSO回归筛选出11个特征(图1B~D;表1)。Ki-67组t检验筛选出17个特征,再通过LASSO回归筛选出10个特征(图2B~D;表2)。

2.2 影像组学模型的预测效能 支持向量机和随机森林两种影像组学模型的敏感度、特异度与AUC见表3,其ROC曲线见图3。两种模型的对IDH-1基因突变和Ki-67表达水平均有较好的预测效能(AUC>0.850),两种模型的预测准确率均大于0.880,其中随机森林比支持向量机的效果更好。

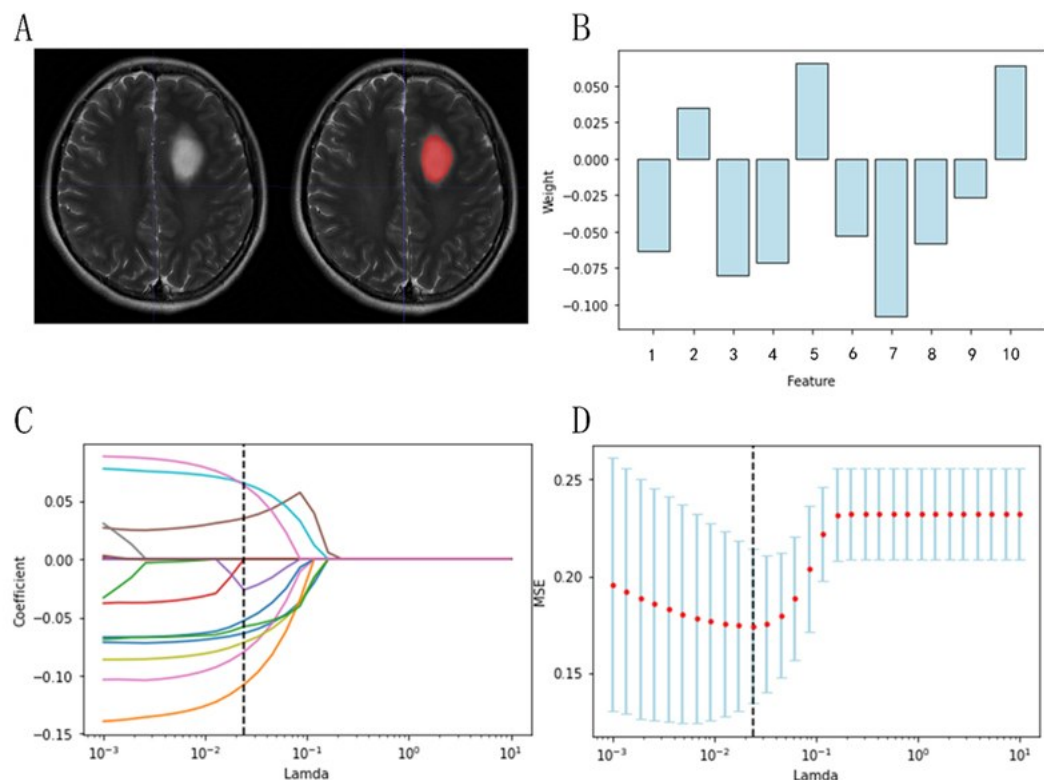
3 讨论

IDH-1基因突变和Ki-67表达水平对胶质瘤病人的预后评估具有重要意义。IDH-1突变型胶质瘤病人预后优于野生型病人^[9],IDH-1突变型胶质瘤DNA甲基化增加、生物学侵袭行为减少、总生存期延长^[10]。胶质瘤Ki-67表达水平明显高于正常脑组织^[11],Ki-67表达水平越高,肿瘤恶性程度越高、预后越差^[12]。IDH-1基因突变和Ki-67表达水平的检测依赖肿瘤组织病理检查,是一种具有侵袭性的检查,而且还存在取样误差、有时临床难以获得满意的数据等局限性。

影像组学作为一个新兴的技术,近年来被广泛应用于肿瘤的诊断、治疗及预后的评价和预测,基于T₂WI、T₁WI+C、ADC、PET-CT/MR的影像组学分析、

图1 基于MRI T₂WI影像组学模型预测胶质瘤IDH-1突变特征筛选结果

A. T₂WI原始图像及ITK-SNAP勾画ROI;B. Lasso筛选出的不同特征的权重;C. Lasso分析特征系数收敛图;D. Lasso分析惩罚系数的筛选

图2 基于MRI T₂WI影像组学模型预测胶质瘤Ki-67表达水平特征筛选结果

A. T₂WI原始图像及ITK-SNAP勾画ROI;B. Lasso筛选出的不同特征的权重;C. Lasso分析特征系数收敛图;D. Lasso分析惩罚系数的筛选

表1 IDH-1组特征值及其权重

标号	影像特征	权重
1	原图像-灰度相关矩阵参数-大依赖高灰度增强	0.007381
2	小波滤波-低低高通-一阶特征-最大值	0.036031
3	小波滤波-低低高通-一阶特征-偏度	0.019575
4	小波滤波-低低高通-灰度共生矩阵参数-相关性	-0.028509
5	小波滤波-低高低通-一阶特征-平均值	-0.088763
6	小波滤波-低高高通-一阶特征-峰度	0.011423
7	小波滤波-低高高通-灰度相关矩阵参数-大依赖高灰度增强	0.006555
8	小波滤波-高低高通-灰度行程矩阵参数-长游程高灰度增强	0.026892
9	小波滤波-高高低通-灰度共生矩阵参数-逆差归一化	0.047982
10	高斯-拉普拉斯滤波- Σ -4-0-mm-3D-一阶特征-第90百分位数	-0.065879
11	高斯-拉普拉斯滤波- Σ -4-0-mm-3D-一阶特征-偏度	0.01399

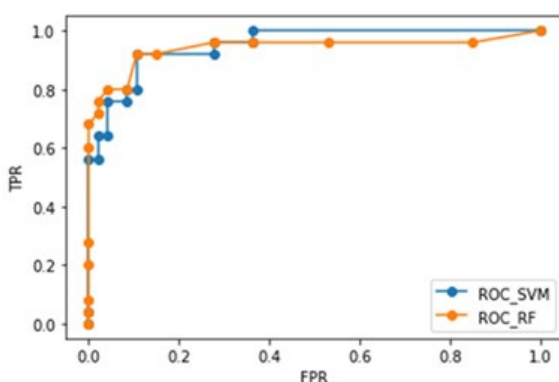
表2 Ki-67组特征值及其权重

标号	特征值	权重
1	原图像-形态特征-延伸率	-0.063733
2	小波滤波-低低高通-灰度共生矩阵参数-相关性	0.035057
3	小波滤波-低低高通-灰度共生矩阵参数-最大相关系数	-0.079788
4	小波滤波-低高高通-一阶特征-中位数	-0.071642
5	小波滤波-低高高通-一阶特征-偏度	0.065354
6	小波滤波-高低低通-灰度共生矩阵参数-逆差归一化	-0.052858
7	小波滤波-高低高通-一阶特征-偏度	-0.107868
8	小波滤波-高高低通-一阶特征-峰度	-0.057949
9	小波滤波-高高低通-灰度共生矩阵参数-逆差归一化	-0.026443
10	高斯-拉普拉斯滤波- Σ -4-0-mm-3D-一阶特征-第90百分位数	0.063772

表3 机器学习ROC曲线结果

指标	IDH-1组		Ki-67组	
	支持向量机(SVM)	随机森林(RF)	支持向量机(SVM)	随机森林(RF)
灵敏度	0.920	0.920	0.963	0.889
特异度	0.894	0.894	0.792	0.958
AUC	0.859	0.869	0.855	0.892

DH-1组ROC曲线



Ki-67组ROC曲线

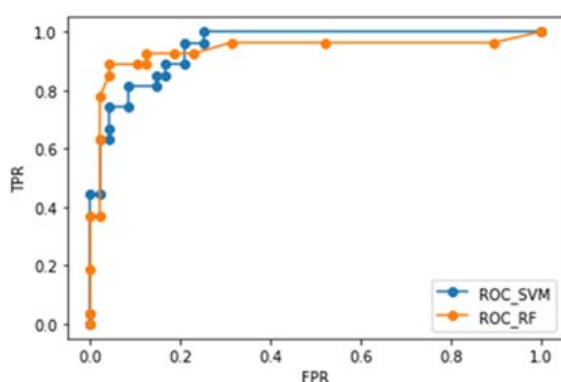


图3 不同机器学习分类器的ROC曲线

深度学习神经网络等均表现出对胶质瘤基因型和肿瘤分级的良好预测能力,其中多序列和多临床参数的影像组学联合模型进一步提高了对肿瘤IDH等基因突变的预测能力^[13]。MRI T₂WI序列影像学特征表现为胶质瘤诊断的依据之一^[14]。本文提取MRI T₂WI序列影像组学特征,构建支持向量机和随机森林两种机器学习分类器,预测胶质瘤IDH-1基因突变和Ki-67表达水平,预测准确率超过88.0%。这提示MRI T₂WI序列影像组学特征对胶质瘤病理结果具有较高的预测准确率,可为临床确定肿瘤手术方案、评估胶质瘤预后等提供依据。

值得注意的是,灰度相关矩阵参数中的大依赖高灰度增强特征表示具有较高灰度值的高相关性体质的联合分布情况,此特征在鉴别IDH-1基因突变中有特殊意义。此外, IDH-1组特征值权重绝对值最大的特征为一阶特征平均值,这说明肿瘤组织T₂WI序列平均灰度在鉴别IDH-1基因突变中可能具有较高的价值。这提示对T₂WI序列信号分布均匀的胶质瘤,可以通过T₂WI序列灰度预测IDH-1基因突变情况。但是对有钙化或者囊变的胶质瘤,这种评估就相对比较困难。

Ki-67组特征值权重绝对值最大的特征为偏度特征,表明体质灰度平均值分布的不对称性;其次是逆差归一化特征,表示图像局部均匀程度。这两个特征分别从整体和局部描述灰度的不均匀程度。这提示T₂WI灰度分布不均匀程度反映Ki-67表达水平的差异。

本文的局限性:①样本相对较少;②回顾性研究,存在选择性偏倚;③未根据胶质瘤级别进行亚组分析;④为单序列影像组学分析;⑤由于分类器原理,无法分析各特征值与基因型的具体关系;⑥未对预测结果进行交叉验证。

总之,本文基于MRI T₂WI序列建立支持向量机和随机森林机器学习分类器预测胶质瘤IDH-1基因突变和Ki-67表达水平,准确率均超过88.0%,具有良好的应用价值,为胶质瘤术前预测提供了新思路。

【参考文献】

- [1] Weller M, Van Den Bent M, Preusser M, et al. EANO guidelines on the diagnosis and treatment of diffuse gliomas of adulthood [J]. Nat Rev Clin Oncol, 2021, 18(3): 170–186.
- [2] Eckel-Passow JE, Lachance DH, Molinaro AM, et al. Glioma groups based on 1p/19q, IDH, and TERT promoter mutations in tumors [J]. N Engl J Med, 2015, 372(26): 2499–508.
- [3] Komori T. Grading of adult diffuse gliomas according to the 2021 WHO Classification of Tumors of the Central Nervous System [J]. Lab Invest, 2022, 102(2): 126–133.
- [4] Wesseling P, Capper D. WHO 2016 classification of gliomas [J]. Neuropathol Appl Neurobiol, 2018, 44(2): 139–150.
- [5] Su C, Jiang J, Zhang S, et al. Radiomics based on multicontrast MRI can precisely differentiate among glioma subtypes and predict tumour–proliferative behaviour [J]. Eur Radiol, 2019, 29(4): 1986–1996.
- [6] El Naqa I, Ten Haken RK. Can radiomics personalise immunotherapy [J]. Lancet Oncol, 2018, 19(9): 1138–1139.
- [7] Yushkevich P, Piven J, Hazlett H, et al. User-guided 3D active contour segmentation of anatomical structures: significantly improved efficiency and reliability [J]. Neuroimage, 2006, 31(3): 1116–1128.
- [8] Beesley MF, McLaren KM. Cytokeratin 19 and galectin-3 immunohistochemistry in the differential diagnosis of solitary thyroid nodules [J]. Histopathology, 2002, 41(3): 236–243.
- [9] Luo Y, Hou W, Zeng L, et al. Progress in the study of markers related to glioma prognosis [J]. Eur Rev Med Pharmacol Sci, 2020, 4(14): 7690–7697.
- [10] Thompson CB. Metabolic enzymes as oncogenes or tumor suppressors [J]. N Engl J Med, 2009, 360(8): 813–815.
- [11] Qu Dw, Xu Hs, Han Xj, et al. Expression of cyclinD1 and Ki-67 proteins in gliomas and its clinical significance [J]. Eur Rev Med Pharmacol Sci, 2014, 18(4): 516–519.
- [12] Cai J, Yang P, Zhang C, et al. ATRX mRNA expression combined with IDH1/2 mutational status and Ki-67 expression refines the molecular classification of astrocytic tumors: evidence from the whole transcriptome sequencing of 169 samples [J]. Oncotarget, 2014, 5(9): 2551–2561.
- [13] Tan Y, Mu W, Wang XC, et al. Whole-tumor radiomics analysis of DKI and DTI may improve the prediction of genotypes for astrocytomas: a preliminary study [J]. Eur J Radiol, 2020, 124: 108785.
- [14] Weller M, Van Den Bent M, Tonn JC, et al. European Association for Neuro-Oncology (EANO) guideline on the diagnosis and treatment of adult astrocytic and oligodendroglial gliomas [J]. Lancet Oncol, 2017, 18(6): e315–e329.

(2022-02-25收稿,2022-04-01修回)